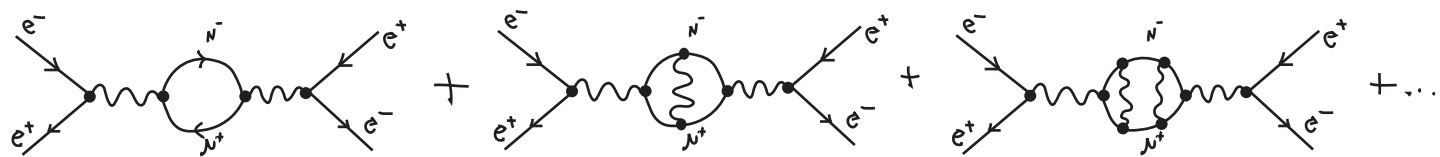


As próximas contribuições incluem:



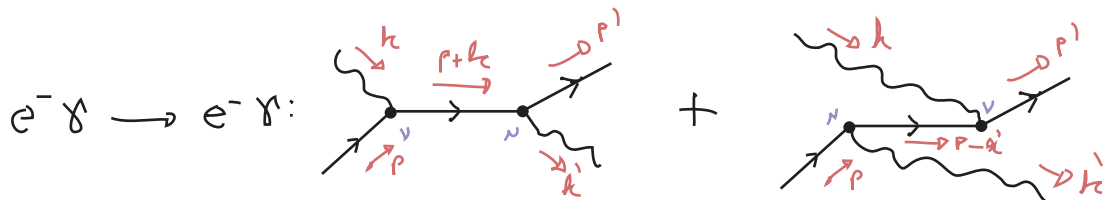
Para a maior parte dos valores de ECM esta série de diagramas dá uma pequena correção ao espalhamento em nível árvore, mas quando  $\text{ECM} \sim 2\text{mm}$  a contribuição destes fica bem grande. É possível mostrar que somar todos os diagramas desta série equivale a resolver a eq. de Schrödinger (nesto caso, em que a aproximação relativística é boa). A previsão é que o propagador do fóton desenvolverá um novo polo e a seção de choque terá um pico cuja área será dada por 89.2 e a largura por 89.3



## Espalhamento Compton

(Peskin 5.5)

Agora nos concentraremos no espalhamento Compton:



a relação entre os dois diagramas é uma troca entre linhas bosônicas, logo não há sinal relativo:

$$\begin{aligned}
 i\mathcal{M} &= \bar{u}(r') \cdot (i \epsilon \gamma^\mu) \cdot \frac{i(p+k+m)}{(p+k)^2 - m^2} \cdot (i \epsilon \gamma^\nu) \cdot u(r) \epsilon_\mu^*(k) \epsilon_\nu(k) + \\
 &+ \bar{u}(r') \cdot (i \epsilon \gamma^\mu) \cdot \frac{i(p-k+m)}{(p-k)^2 - m^2} \cdot (i \epsilon \gamma^\nu) \cdot u(r) \epsilon_\mu^*(k) \epsilon_\nu(k) = \\
 &= -i e^2 \epsilon_\mu^*(k) \epsilon_\nu(k) \bar{u}(r') \cdot \left[ \underbrace{\gamma^\nu \frac{(p+k+m)}{(p+k)^2 - m^2} \gamma^\mu}_{2p \cdot k} + \underbrace{\gamma^\nu \frac{(p-k+m)}{(p-k)^2 - m^2} \gamma^\mu}_{-2p \cdot k'} \right] u(r)
 \end{aligned}$$

$\rho^2 = m^2$   
 $k^2 = 0$

$\left. \begin{array}{l} (p+k)^2 = m^2 + 2p \cdot k \\ (p-k')^2 = m^2 - 2p \cdot k' \end{array} \right\}$

Para simplificar os numeradores usamos uma técnica muito útil, que consiste em usar a equação de Dirac para  $u$  e  $v$ :

$$\begin{aligned}
 (p+m) \gamma^\mu u(r) &= (\underbrace{p_\mu \gamma^\mu}_{} + m) \gamma^\mu u(r) = (\cancel{p}^\nu - \gamma^\nu \cancel{p} + \gamma^\mu m) u(r) = \\
 &\quad \cancel{p}_\mu \gamma^\mu \gamma^\nu = 2p^\nu - \cancel{p}_\mu \gamma^\mu \gamma^\nu \\
 &= 2p^\nu u(r) - \underbrace{\gamma^\nu (p-m)}_0 u(r) \quad (\text{eq. de Dirac})
 \end{aligned}$$

Obtemos:

$$\begin{aligned}
 i\mathcal{M} &= -ie^2 E_N^{*\lambda}(k) E_\nu(\omega) \bar{u}_j^\sigma(p') \cdot \left[ \frac{\delta^\nu \gamma^\mu + \delta^\mu \gamma^\nu}{2p \cdot h} + \frac{-\gamma^\nu \gamma^\mu - \gamma^\mu \gamma^\nu}{+2p \cdot h} \right] u_j^\sigma(p) \\
 -i\mathcal{M}^* &= ie^2 E_P^{*\lambda}(k) E_\sigma(k) u_{j'}^\sigma(p) \left[ \frac{\delta^\mu \gamma^\nu + \delta^\nu \gamma^\mu}{2p \cdot h} + \frac{\delta^\mu \gamma^\nu - \delta^\nu \gamma^\mu}{-2p \cdot h} \right]^+ r^o \bar{u}_{j'}^\sigma(p') = \\
 &= ie^2 E_P^{*\lambda}(k) E_\sigma(k) \bar{u}_{j'}^\sigma(p) \cdot \left[ \frac{\delta^\mu \gamma^\nu + \delta^\nu \gamma^\mu}{2p \cdot h} + \frac{\delta^\mu \gamma^\nu - \delta^\nu \gamma^\mu}{-2p \cdot h} \right] u_{j'}^\sigma(p')
 \end{aligned}$$

Fazendo a média e soma sobre polarizações:

$$\sum_S u_j^\sigma(p) \bar{u}_{j'}^\sigma(p) = (P+m)_{j'j} \quad \sum_{S'} u_{j'}^\sigma(p') \bar{u}_{j'}^\sigma(p') = (P'+m)_{j'j}$$

$$\sum_\lambda E_\sigma^{*\lambda}(k) E_\nu(\omega) \rightarrow -g_{\nu\lambda} \quad \sum_\lambda E_P^{*\lambda}(k) E_N^{*\lambda}(k) \rightarrow -g_{P\lambda}$$

obtemos:

$$\frac{1}{2} \frac{1}{2} \sum_{S,S',\lambda,\lambda'} |M|^2 = \frac{e^4}{4} g_{NP} g_{\nu\sigma} \text{Tr} \left\{ (P+m) \left[ \frac{\delta^\mu \gamma^\nu + \delta^\nu \gamma^\mu}{2p \cdot h} + \frac{\delta^\mu \gamma^\nu - \delta^\nu \gamma^\mu}{-2p \cdot h} \right] \times \right.$$

↑  
medias

$$\begin{aligned}
 &\left. \times (P'+m) \cdot \left[ \frac{\delta^\nu \gamma^\mu + \delta^\mu \gamma^\nu}{2p \cdot h} + \frac{\delta^\nu \gamma^\mu - \delta^\mu \gamma^\nu}{+2p \cdot h} \right] \right\} = \\
 &= \frac{e^4}{4} \left\{ \frac{1}{(2p \cdot h)^2} \text{Tr} \left[ (P+m)(\delta_\nu \gamma_\mu + \delta_\mu \gamma_\nu)(P'+m)(\delta^\nu \gamma^\mu + \delta^\mu \gamma^\nu) \right] + \text{I} \right. \\
 &+ \frac{1}{(2p \cdot h)(2p \cdot h)} \text{Tr} \left[ (P+m)(\delta_\nu \gamma_\mu + \delta_\mu \gamma_\nu)(P'+m)(\delta^\nu \gamma^\mu - \delta^\mu \gamma^\nu) \right] + \text{II} \\
 &+ \frac{1}{(2p \cdot h)(2p \cdot h)} \text{Tr} \left[ (P+m)(\delta_\nu \gamma_\mu - \delta_\mu \gamma_\nu)(P'+m)(\delta^\nu \gamma^\mu + \delta^\mu \gamma^\nu) \right] + \text{III} \\
 &+ \left. \frac{1}{(2p \cdot h)^2} \text{Tr} \left[ (P+m)(\delta_\nu \gamma_\mu - \delta_\mu \gamma_\nu)(P'+m)(\delta^\nu \gamma^\mu - \delta^\mu \gamma^\nu) \right] \right\} + \text{IV}
 \end{aligned}$$

notando que:

$$\text{I} (k \rightarrow -k) = \text{Tr} \left[ (P+m)(-\delta_\nu \gamma_\mu + \delta_\mu \gamma_\nu)(P'+m)(-\delta^\nu \gamma^\mu + \delta^\mu \gamma^\nu) \right] = \text{IV}$$

$$\underline{II} = T_Q \left[ (\gamma'' \dot{x} - \delta'' \dot{y} + p'') (P) + m \right] (\gamma_x \dot{x}_v + \gamma_y \dot{y}_v) (P + m) = \underline{III}$$

revertendo a ordem das matrizes, conforme eq 71.3

vemos que só é necessário calcular I e II

$$I = Tr \left[ (\rho + m) (r_v \otimes r_u + r_u \otimes r_v) (\rho') + m) (r_u^* \otimes r_v^* + r_v^* \otimes r_u^*) \right]$$

que podemos resolver usando a tecnologia de traços mostrada nas páginas 69 a 72, por exemplo:

$$\text{Tr} \left[ \rho \underbrace{\gamma_\nu \gamma^\mu \gamma^\nu \gamma^\mu}_{\downarrow} \right] = -2 \text{Tr} \left[ \gamma_\nu \underbrace{\gamma_\mu \gamma^\mu}_{\downarrow} \right] = 4 \text{Tr} [\gamma_\nu \gamma^\mu] = 32 (\rho \cdot h) (\rho' \cdot h)$$

eq. 71.5

$$\gamma_\nu \gamma^\mu \gamma^\nu \gamma^\mu \underbrace{h_{\mu\nu} h_{\mu\nu}}_{\uparrow} = -2 \gamma^\mu \gamma^\nu \gamma^\mu \gamma^\nu \underbrace{h_{\mu\nu} h_{\mu\nu}}_{\uparrow}$$

eq. 72.2

Ou usamos uma implementação mais moderna desta tecnologia:

```

<< FeynCalc`  

ScalarProduct[k, k] = 0;  

(GS[p]).(GA[\[Nu]].GS[k].GA[\[Mu]]).(GS[p\[Prime]]).(GA[\[Mu]].GS[k].GA[\[Nu]]) // TR

```

No caso do traço completo:

```

ScalarProduct[k, k] = 0; ScalarProduct[p, p] = m^2;
ScalarProduct[p\[Prime], p\[Prime]] = m^2;
(GS[p] + m).(GA[\[Nu]].GS[k].GA[\[Mu]] +
  2 GA[\[Mu]] FV[p, \[Nu]]).(GS[p\[Prime]] +
  m).(GA[\[Mu]].GS[k].GA[\[Nu]] + 2 FV[p, \[Nu]] GA[\[Mu]]) // TR

```

$$\mathcal{L}_v \text{ I} = 32(2m^2(k \cdot p) - m^2(k \cdot \bar{p}) + (k \cdot p)(k \cdot \bar{p}) - m^2(p \cdot \bar{p}) + 2m^4)$$

Isso fica mais simples em termos de variáveis de Mandelstam:

$$S = (p+k)^2 = 2p \cdot k + m^2 = 2 p^1 \cdot k^1 + m^2$$

$$t = (p^1 - p)^2 = -2p \cdot p^1 + 2m^2 = -2\hbar \cdot k$$

$$u = (k^1 - p)^2 = -2k^1 \cdot p + m^2 = -2k \cdot p^1 + m^2$$

podemos sempre escrever  
a resposta em termos de  
apenas duas usando

$$S + t + u = 2m^2$$

```
SetMandelstam[s, t, u, p, k, -p\[Prime], -k\[Prime], m, 0, m, 0];
TrickMandelstam[TrI, {s, t, u, 2 m^2}]
```

$$\begin{aligned} \hookrightarrow I &= 8(m^4 + m^2(3s+u) - su) = \\ &= 16\left(2m^4 + m^2(s-m^2) - \frac{1}{2}(s-m^2)(u-m^2)\right) \end{aligned}$$

Podemos obter IV fazendo as mudanças:

$$k \rightarrow -k' \Rightarrow S = (p+k)^2 \rightarrow (p-k')^2 = u$$

$$u = (k'-p)^2 \rightarrow (-k-p)^2 = S$$

$$\text{IV} = 16(2m^4 + m^2(u-m^2) - \frac{1}{2}(u-m^2)(S-m^2))$$

Obtemos os outros dois da mesma forma:

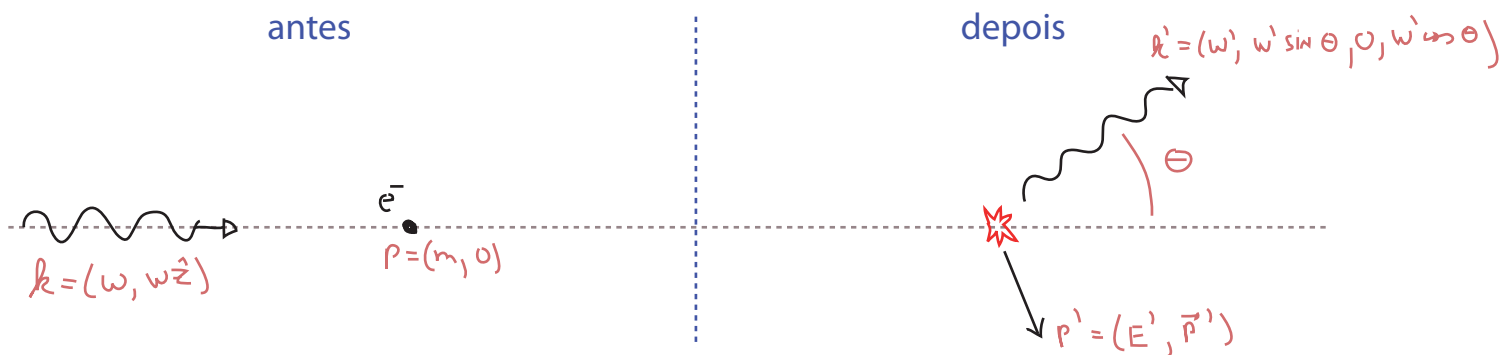
$$\text{II} = \text{III} = -8(4m^4 + m^2(S-m^2) + m^2(u-m^2))$$

Juntando tudo e voltando para as variáveis  $(p \cdot k)$  e  $(p \cdot k')$  temos:

$$\frac{1}{4} \sum |M|^2 = 2e^4 \left[ \frac{p \cdot k}{p \cdot k} + \frac{p \cdot k}{p \cdot k'} + 2m^2 \left( \frac{1}{p \cdot k} - \frac{1}{p \cdot k'} \right) + m^4 \left( \frac{1}{p \cdot k} - \frac{1}{p \cdot k'} \right)^2 \right]$$

(eq. 94.1)

Escolhemos agora um referencial (que é o de repouso do elétron incial):



$$p \cdot k = m\omega \quad S = 2p \cdot k + m^2 = 2m\omega + m^2$$

$$p \cdot k' = m\omega' \quad u = -2k' \cdot p + m^2 = -2m\omega' + m^2$$

esta seção de choque pode ser expressa apenas em termos de  $\omega$  e  $\theta$ , para eliminar  $\omega'$ :

$$m^2 = (p')^2 = (p + k - k')^2 = p^2 + \cancel{2p \cdot (k - k')} - \cancel{2k \cdot k'} =$$

$$= m^2 + \cancel{2m(\omega - \omega')} - \cancel{2\omega \cdot \omega'(1 - \cos \theta)}$$

$$\therefore \frac{1}{\omega'} - \frac{1}{\omega} = \frac{1}{m} (1 - \omega \cos \theta)$$

(eq. 94.2)

que é justamente a fórmula de Compton para a mudança no comprimento de onda do fóton espalhado. Usaremos a na seguinte forma:

$$\omega' = \frac{\omega}{1 + \frac{\omega}{m}(1 - \omega \cos \theta)}$$

(eq. 94.3)

O elemento de matriz fica:

$$\frac{1}{4} \sum |M|^2 = \frac{2e^4}{\omega^2 \omega'^2} \left[ m^2 (\omega - \omega')^2 + 2m\omega\omega'(\omega' - \omega) + \omega\omega'(\omega^2 + \omega'^2) \right] \quad (\text{eq. 95.1})$$

O espaço de fase  $2 \rightarrow 2$  fica:

$$\begin{aligned} \int d\Omega_2 &= \int \frac{J^3 h}{(2\pi)^3} \frac{1}{2\omega'} \frac{J^3 p'}{(2\pi)^3} \frac{1}{2E'} (2\pi)^3 \delta^{(4)}(\vec{h}' + \vec{p}' - \vec{k} - \vec{p}) = \\ &= \int \frac{(\omega')^2 J \omega' J \Omega}{(2\pi)^3} \frac{1}{4\omega' E'} (2\pi) \delta(\omega' + E' - \omega - m) = \\ \int d\Omega &= 2\pi \int_{-1}^1 d(\cos\theta) \\ &= \int_0^\pi \frac{(\omega') J \omega'}{2\pi} \int_{-1}^1 d(\cos\theta) \frac{1}{4\omega' E'} \delta\left(\omega' + \sqrt{\omega'^2 - 2\omega\omega' \cos\theta + \omega^2 + m^2} - \omega - m\right) = \\ &\qquad\qquad\qquad \text{impõe justamente a eq. 94.3} \\ \omega' &= \frac{\omega}{1 + \frac{\omega}{m}(1 - \cos\theta)} = \frac{m\omega}{m + \omega - \omega\cos\theta} \\ \delta(g(x)) &= \frac{1}{|g'(x_0)|} \delta(x - x_0) \Rightarrow g'(\omega) = 1 + \underbrace{\frac{2\omega' - 2\omega \cos\theta}{2\pi}}_{E'} = 1 + \frac{\omega - \omega\cos\theta}{E'} \\ &= \int_{-1}^1 \frac{d(\cos\theta)}{2\pi} \frac{\omega'}{4E'} \frac{1}{\left|1 + \frac{\omega' - \omega \cos\theta}{E'}\right|} = \frac{1}{8\pi} \int_{-1}^1 d(\cos\theta) \frac{\omega'}{\left|\frac{E' + \omega' - \omega \cos\theta}{m + \omega}\right|} = \\ &= \frac{1}{8\pi} \int_{-1}^1 d(\cos\theta) \frac{\omega}{m + \omega(1 - \cos\theta)} = \frac{1}{8\pi} \int_{-1}^1 d(\cos\theta) \frac{(\omega')^2}{\omega m} \quad (\text{eq. 95.2}) \\ \omega' &= \frac{m\omega}{m + \omega - \omega\cos\theta} \Rightarrow \frac{1}{m + \omega - \omega\cos\theta} = \frac{\omega'}{m\omega} \end{aligned}$$

Lembrando que temos as condições que se aplicam sobre o integrando completo:

$$\omega' = \frac{m\omega}{m + \omega - \omega\cos\theta}$$

$$\vec{p}' = \vec{k} + \vec{p} - \vec{h}'$$

Usando 95.1 e 95.2 na fórmula para seção de choque (eq. 37.2):

$$\frac{d\Gamma}{d\cos\theta} = \frac{1}{2\omega^2 m |\nu_e - \nu_{\mu}|} \frac{1}{8\pi} \int_{-1}^1 d(\cos\theta) \frac{(\omega')^2}{\omega m} \left( \frac{1}{4} \sum |M_i|^2 \right)$$

$\left| \frac{\hbar\omega}{\omega} - \frac{\cos\theta}{m} \right| = 1$

(eq. 95.1)

$$\frac{d\Gamma}{d\cos\theta} = \frac{(\omega')^2}{32\pi^2 \omega^3 m^2} \frac{2e^4}{\omega^2 \omega'^2} \left[ m^2 (\omega - \omega')^2 + 2m\omega\omega'(\omega' - \omega) + \omega\omega'(\omega^2 + \omega'^2) \right]$$

$$\begin{aligned} \frac{d\Gamma}{d\cos\theta} &= \frac{\pi\alpha^2}{m^2} \frac{1}{\omega^4} \left[ m^2 (\omega - \omega')^2 + 2m\omega\omega'(\omega' - \omega) + \omega\omega'(\omega^2 + \omega'^2) \right] = \\ &= \frac{\pi\alpha^2}{m^2} \frac{1}{\omega^4} \left[ m^2\omega^2 - 2m^2\omega\omega' + m^2\omega'^2 - 2m\omega^2\omega' + 2m\omega\omega'^2 + \omega^3\omega' + \omega\omega'^3 \right] = \\ &= \frac{\pi\alpha^2}{m^2} \frac{\omega'^2}{\omega^2} \underbrace{\left[ \frac{m^2}{\omega'^2} - \frac{2m^2}{\omega\omega'} + \frac{m^2}{\omega^2} - \frac{2m}{\omega'} + \frac{2m}{\omega} + \frac{\omega}{\omega'} + \frac{\omega'}{\omega} \right]}_{\frac{m^2\omega^2 - 2m^2\omega\omega' + m^2\omega'^2 - 2m\omega^2\omega' + 2m\omega\omega'^2 + \omega^3\omega' + \omega\omega'^3}{\omega^2\omega'^2}} = \cos^2\theta - 1 \end{aligned}$$

$$\omega' = \frac{m\omega}{m + \omega - \omega\cos\theta} \rightarrow \cos\theta = \frac{-m\omega + m\omega' + \omega\omega'}{\omega\omega'}$$

$$\frac{d\Gamma}{d\cos\theta} = \frac{\pi\alpha^2}{m^2} \left( \frac{\omega'}{\omega} \right)^2 \left[ \frac{\omega}{\omega'} + \frac{\omega'}{\omega} - \sin^2\theta \right] \quad (\text{eq. 96.1})$$

Fórmula de Klein-Nishina

No limite  $\omega \rightarrow 0$  (grandes comprimentos de onda) vemos que:

$$\omega' = \frac{m\omega}{m + \omega - \omega\cos\theta} \Rightarrow \frac{\omega'}{\omega} = \frac{m}{m + \cancel{\omega(1-\cos\theta)}} \underset{\omega \sim 0}{\simeq} 1$$

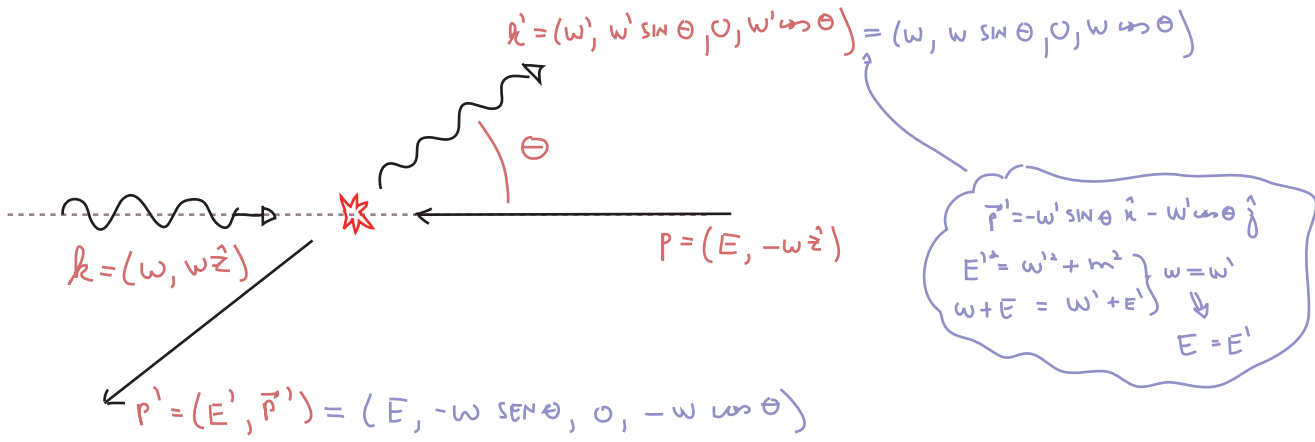
$$\frac{d\Gamma}{d\cos\theta} = \frac{\pi\alpha^2}{m^2} \left[ 1 + \cos^2\theta \right] \quad (\text{eq. 96.2})$$

Espalhamento Thomson

$$G_{\text{TOT}} = \frac{8\pi\alpha^2}{3m^2} \quad (\text{eq. 96.3})$$

## Comportamento em altas energias

Para analizar o comportamento em altas energias vamos adotar o referencial do CM:



$$\begin{aligned} p \cdot k &= \omega(E + \omega) \\ p \cdot k' &= \omega(E + \omega \cos \theta) \end{aligned}$$

$$\begin{aligned} S &= (p + k)^2 = (E + \omega)^2 \\ u &= (k' - p)^2 = (\omega - E)^2 - \omega^2 \sin^2 \theta - \omega^2 (\cos \theta + 1)^2 = \\ &= (E - \omega)^2 - \omega^2 (1 + \cos \theta) \\ t &= (k' - k)^2 = -2k \cdot k' = -2\omega(1 - \cos \theta) \end{aligned}$$

Tomemos o limite para altas energias e  $\theta \approx \pi$ :

$$\frac{p \cdot k}{p \cdot k'} = \frac{E + \omega}{E + \omega \cos \theta} \underset{\theta \approx \pi}{\approx} \frac{E + \omega}{E - \omega} \gg 1 \quad \Rightarrow \quad \frac{p \cdot k}{p \cdot k'} \ll 1$$

$$E^2 - \omega^2 = m^2 \Rightarrow E - \omega = E - \sqrt{E^2 - m^2} \underset{E \gg m}{\approx} 0$$

$$\frac{1}{p \cdot k} - \frac{1}{p \cdot k'} = \frac{1}{\omega(E + \omega)} - \frac{1}{\omega(E + \omega \cos \theta)} \underset{\theta \approx \pi}{\approx} \frac{1}{\omega(E + \omega)} - \frac{1}{\omega(E - \omega)} = \frac{E - \omega - E - \omega}{\omega(E^2 - \omega^2)} = -\frac{2}{m^2}$$

logo o termo  $\frac{p \cdot k}{p \cdot k'}$  domina a eq 94.1:

$$\begin{aligned} \frac{1}{4} \sum |M|^2 &= 2e^4 \left[ \frac{p \cdot k}{p \cdot k'} + \frac{p \cdot k}{p \cdot k'} + 2m^2 \left( \frac{1}{p \cdot k} - \frac{1}{p \cdot k'} \right) + m^4 \left( \frac{1}{p \cdot k} - \frac{1}{p \cdot k'} \right)^2 \right] = \\ &= 2e^4 \frac{E + \omega}{E + \omega \cos \theta} \end{aligned}$$

Para altas energias podemos fazer a aproximação:

$$E = \sqrt{\omega^2 + m^2} = \omega \sqrt{1 + \frac{m^2}{\omega^2}} = \omega \left( 1 + \frac{m^2}{2\omega^2} + \mathcal{O}\left(\frac{m^4}{\omega^4}\right) \right) \rightarrow E \approx \omega \gg m$$

$$E + \omega \cos \theta \approx \omega \left( 1 + \cos \theta + \frac{m^2}{2\omega^2} \right)$$

manteremos este fator de  $m$  apenas aqui, quando  $E + \omega \cos \theta$  aparecer no denominador, pois neste caso ele regulariza uma divergência em  $\theta = \pi$ . Em todos os outros lugares ele é desprezível

$$\text{Logo: } S = (E + \omega)^2 \approx 4\omega^2$$

$$\frac{1}{4} \sum |M|^2 \approx \frac{4e^4}{1 + \cos\theta + \frac{m^2}{2\omega^2}}$$

A seção de choque neste referencial fica:

$$\left( \frac{d\sigma}{d\Omega} \right) = \frac{1}{2E} \frac{1}{2\omega} \frac{|v_A - v_B|}{2} \frac{\omega}{1 + \pi^2 (\omega + E)} \left( \frac{1}{4} \sum |M|^2 \right)$$

$$v_A = \frac{\omega}{\omega} \quad v_B = -\frac{\omega}{E} \quad v_A - v_B = \frac{E + \omega}{E} \approx 2$$

$$\left( \frac{d\sigma}{d\cos\theta} \right) \approx 2\pi \frac{1}{16\omega^2} \frac{4e^4}{1 + \cos\theta + \frac{m^2}{2\omega^2}} = \frac{2\pi\omega^2}{2m^2 + S(1 + \cos\theta)}$$
(eq. 98.1)

Onde vemos que sem a massa do elétron teríamos uma divergência para  $\theta = \pi$ . Fazendo a integral angular:

$$\int_{-1}^1 d(\cos\theta) \frac{d\sigma}{d\cos\theta} \approx \frac{2\pi\omega^2}{S} \int_{-1}^1 d(\cos\theta) \frac{1}{2m^2 + (1 + \cos\theta)} \approx \frac{2\pi\omega^2}{S} \log \left( \frac{m^2 + S}{m^2} \right)$$

Fazendo o limite sem massa na eq. 94.1:

$$(94.1) \quad m=0 \quad \begin{cases} S = 2P \cdot k \\ u = -2P \cdot k' \end{cases} \quad \boxed{\frac{1}{4} \sum |M|^2 = -2e^4 \left[ \frac{u}{S} + \frac{S}{u} \right]} \quad (\text{eq. 98.2})$$

e lembrando que:  $S \approx 4\omega^2$

$$u = (E - \omega)^2 - 2\omega^2(1 + \cos\theta) \approx -2\omega^2(\cos\theta + 1)$$

vemos que esta divergência vem do segundo termo de 98.2, da troca de fótons no "canal u". Isto não é muito surpreendente, uma vez que na amplitude da pg 91 tínhamos:

$$= \bar{u}(r') \cdot (i \epsilon \gamma^\nu) \cdot \frac{i(p-k+m)}{(p-k')^2 - m^2} \cdot (i \epsilon \gamma^\mu) \cdot u(r) \in_u^*(k') \in_\nu(k)$$

Logo era de se esperar uma divergência no caso em que  $u \approx m^2 \ll S$

O que é um pouco inesperado é que temos apenas  $1/u$ , ao invés de  $1/u^2$  (lembre-se que  $\sigma \sim |M|^2$ )

Vamos definir  $\chi \equiv \pi - \theta$